Brevet de technicien supérieur Travaux Publics

Epreuve E4

U41 Mécanique des structures

Durée : 4 heures

Coefficient: 3

Rocade "Est" de Reims

Document autorisé: BAEL

Matériel autorisé: calculatrice

Le sujet comporte 19 pages.

- Pages 1 à 3:

Présentation

- Page 4:

Coffrage perdu

- Pages 5 à 8 :

HEB 500

- Pages 9 à 11:

Corniche

- Pages 12 et 13 :

Mur garde-grève

- Page 14 (données complémentaires : document 1) :

Caractéristiques des matériaux et théorème des trois

moments

- Page 15 (données complémentaires : document 2) :

Poutre sur deux appuis et sections d'armatures

- Page 16 (données complémentaires : document 3) :

Intégrales de Mohr

- Page 17 (données complémentaires : document 4) :

Caractéristiques des profilés HEB

- Page 18 (document 5):

OA 15 demi-coupe longitudinale partielle

- Page 19 (document 6):

OA 15 coupe transversale partielle

Le barème (sur 200 points) est le suivant:

1.Coffrage perdu (25 points)	2.HEB 500 (85 points)	3.Corniche (45 points)	4.Garde grève (45 points)
11 - 15 points	211 - 20 points	311 - 10 points	41 - 20 points
12 - 10 points	212 - 05 points	312 - 15 points	42 - 10 points
	221 - 05 points	32 - 20 points	43 - 10 points
	222 - 45 points		44 - 05 points
	23 - 10 points		

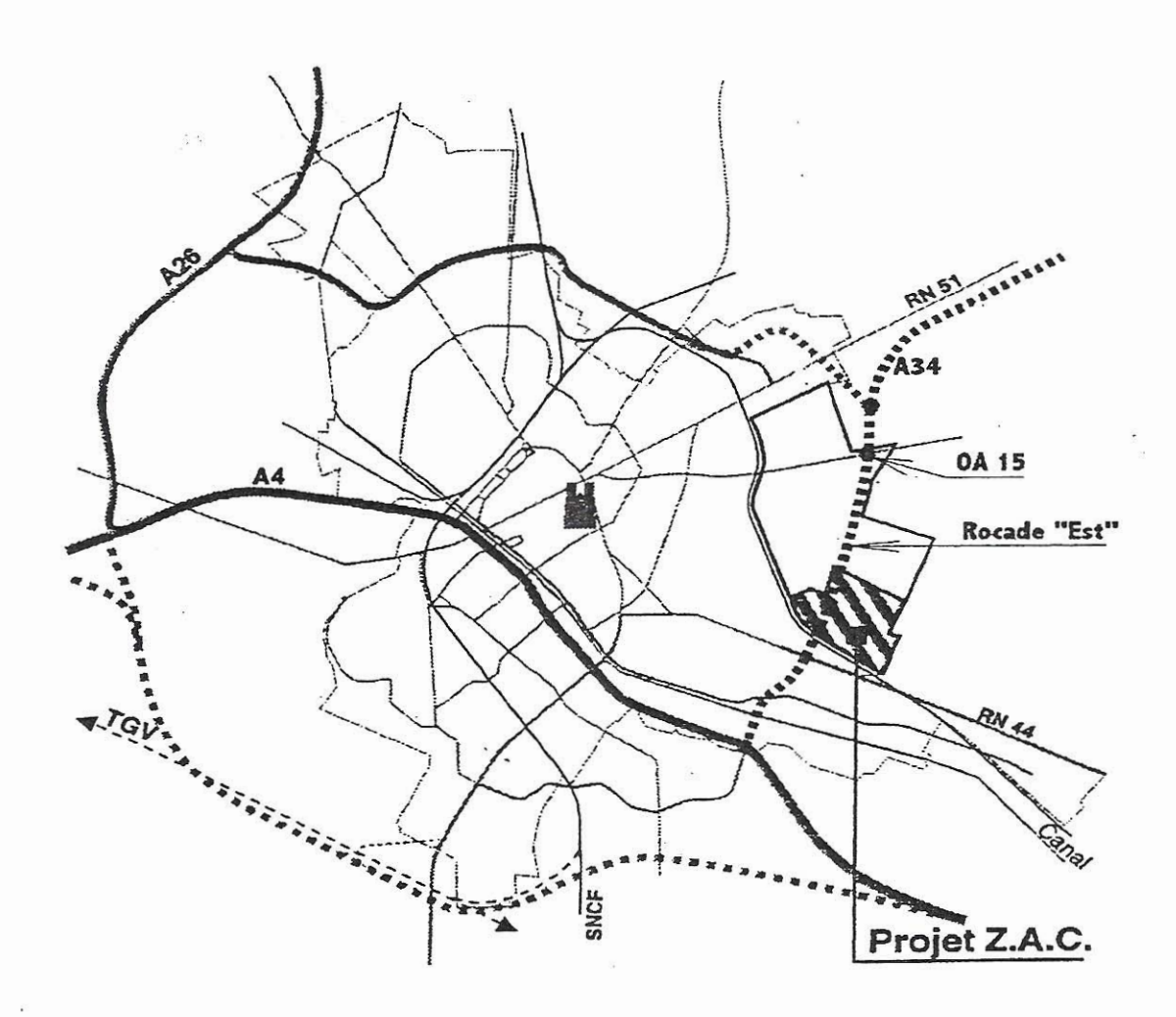
Les documents 1, 2, 3, 4, 5 et 6 des pages 14, 15, 16, 17, 18 et 19 comportent des informations. Certaines sont indispensables pour répondre aux questions posées. D'autres ne sont pas utiles. C'est au candidat d'être capable de rechercher l'information correspondant au problème posé.

Présentation de l'étude

La transformation de la RN 51 (Rethel - Reims) en autoroute A34 a contraint les pouvoirs publics à décider la construction de la rocade "Est" de Reims.

Celle-ci aura deux rôles distincts. Tout d'abord, elle devra permettre la liaison entre l'autoroute A34 et l'autoroute A4 déjà en service. Ensuite, elle desservira un nouveau quartier (Z.A.C.) de 460 ha, dont l'aménagement doit s'effectuer sur plusieurs décennies.

Plusieurs ouvrages d'art doivent être construits. L'étude qui suit concerne l'ouvrage d'art OA 15, passage supérieur permettant le franchissement de la rocade "Est" par la route départementale Reims - Cernay.



Présentation de l'ouvrage.

(voir les documents 5 et 6 pages 18 et 19)

L'ouvrage est un passage supérieur à deux travées fondé sur barrettes. Le tablier est constitué de profilés métalliques HEB 500 enrobés dans une dalle en béton armé. Le béton du tablier est coulé en **deux phases** (deux couches) sur des coffrages perdus. Ces coffrages sont constitués de plaques de fibre de bois-ciment d'épaisseur 20 mm en appuis sur les profilés HEB 500.

Les grandes phases de la fabrication de l'ouvrage d'art sont les suivantes :

- implantation,
- fabrication des barrettes, puis du chevêtre,
- mise en place des poutrelles (HEB 500), du coffrage perdu, du ferraillage passif, des corniches préfabriquées,
 - bétonnage du tablier,
- terrassement de la rocade « Est » au niveau de l'ouvrage d'art, dégagement partiel des barrettes,
- fixation des panneaux préfabriqués décoratifs sur les faces visibles des barrettes,

On vous rappelle que des informations se trouvant sur les documents des pages 14, 15, 16, 17, 18 et 19 sont parfois utiles pour répondre aux différentes questions de ce sujet.

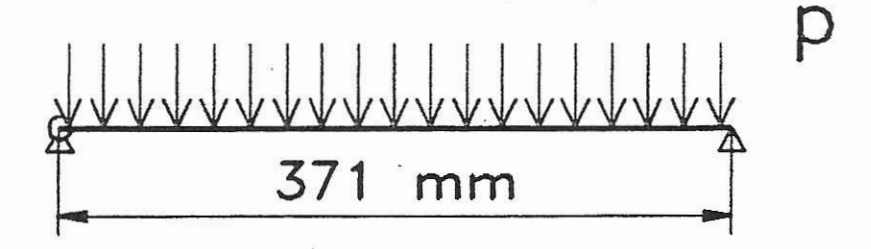
1 Coffrage perdu

Le coffrage horizontal du tablier est un coffrage perdu (représenté sur le "détail tablier" du document 6) en "fibres de bois - ciment". Il est constitué de plaques planes dont les dimensions sont $1,250 \times 470 \times 20$.

Lors du bétonnage de la première couche du tablier, les charges supportées par le coffrage sont les suivantes:

- béton: on ne considère que son action statique supposée uniformément répartie
- personnel, matériels divers et "surépaisseur" de béton: on prend forfaitairement une charge égale au dixième du poids du béton.
 - poids propre des plaques.

Le schéma mécanique du coffrage perdu est le suivant:



On raisonne sur une bande de 1 m de large de coffrage perdu.

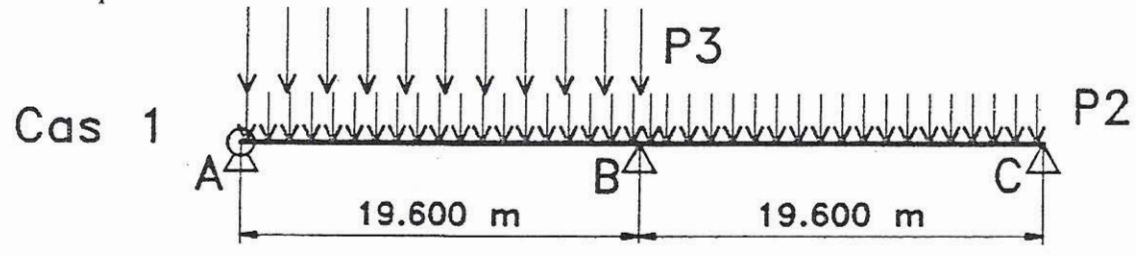
Les matériaux travaillent dans le domaine élastique.

- 11 Les actions ne sont pas pondérées dans cette question. Déterminez l'épaisseur de béton que l'on peut mettre en place au cours de la première phase de bétonnage, si on ne considère que les conditions de déformation du coffrage perdu. La flèche admissible est égale au 1/400 de la portée.
- 12 Les actions sont pondérées par 1,2 dans cette question. On met en réalité une première couche de béton de 30 cm d'épaisseur pour limiter la flèche du profilé HEB 500. Déterminer, dans le coffrage perdu, la contrainte normale maximale agissant sur une section droite. Qu'en déduisez-vous?

2 HEB 500

Aucune pondération n'est à effectuer dans cette étude.

On étudie une poutrelle HEB 500 courante au cours du bétonnage. C'est une poutre continue sur trois appuis (les deux culées et la pile centrale). On étudie le cas de charge 1 (cas 1), lorsque le béton de la première couche est mis en place sur la première travée uniquement.

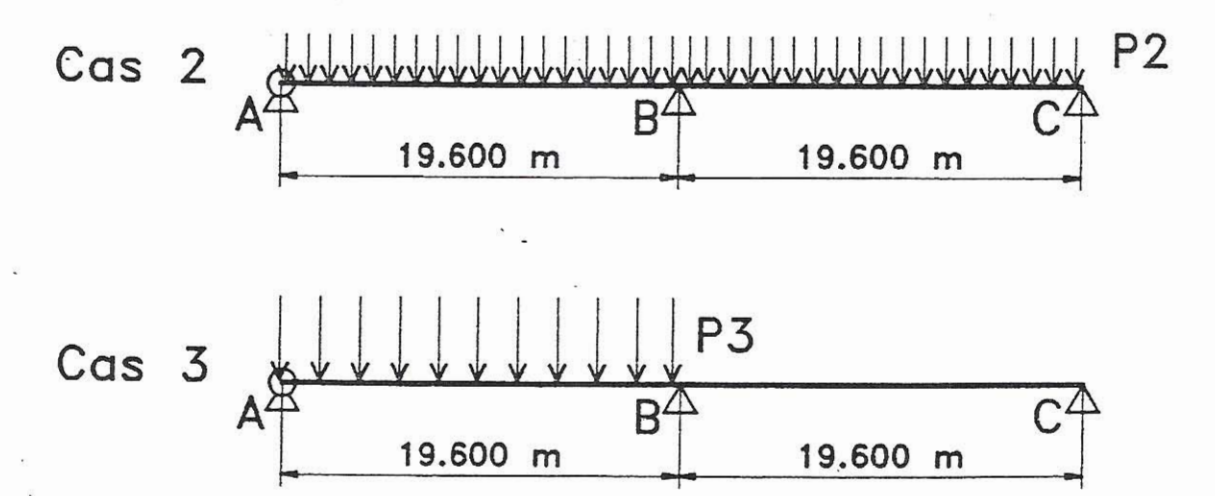


P2 : poids propre du profilé et du coffrage perdu

P3 : poids de la première couche de béton, du matériel et du personnel

On suppose que les matériaux travaillent dans le domaine élastique.

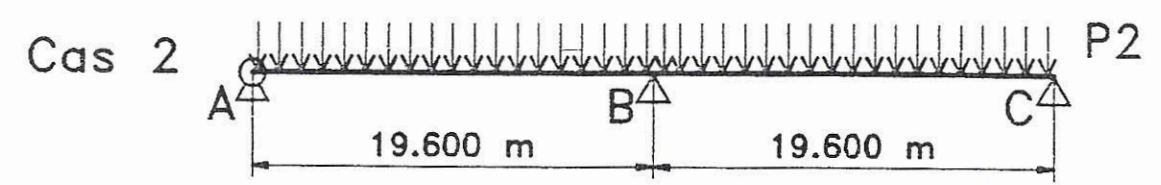
Pour simplifier les calculs, le cas de charge 1 (cas 1) est décomposé en un cas de charge 2 (cas 2) et un cas de charge 3 (cas 3).



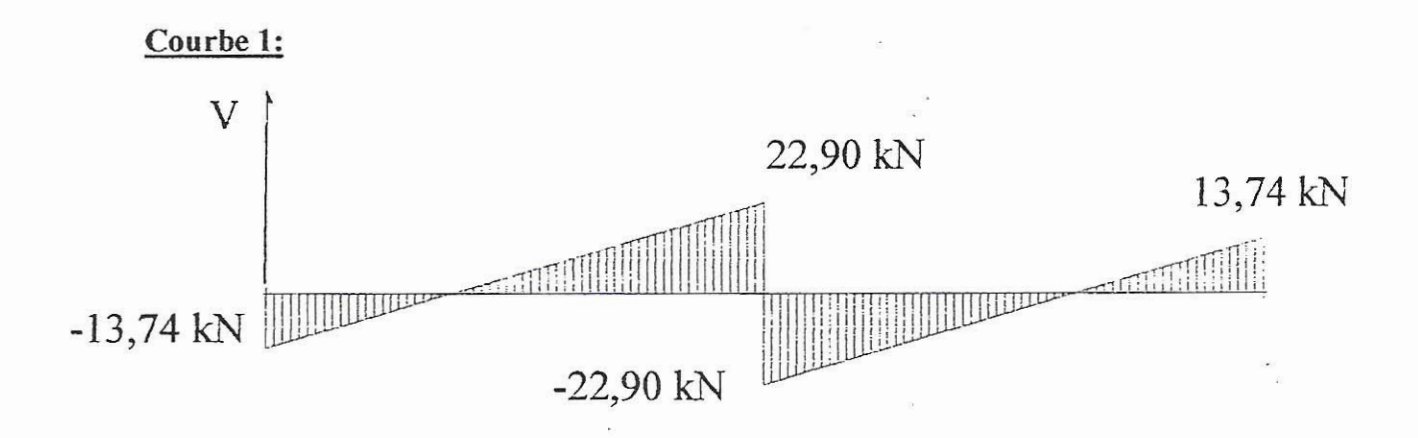
On peut donc écrire, d'après le théorème de superposition, que le "cas 1" ést égal à la somme du "cas 2" et du "cas 3".

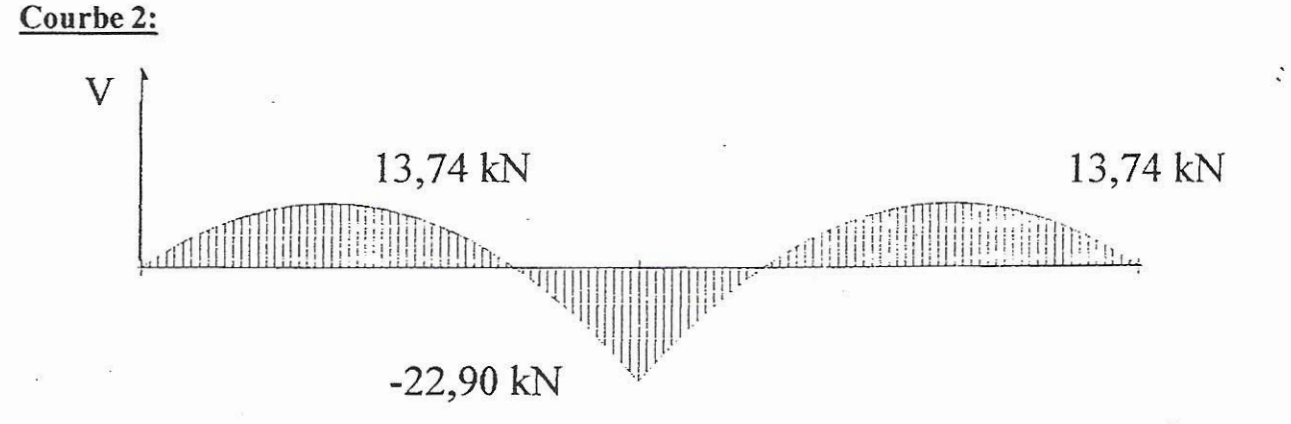
21 Etude du cas 2

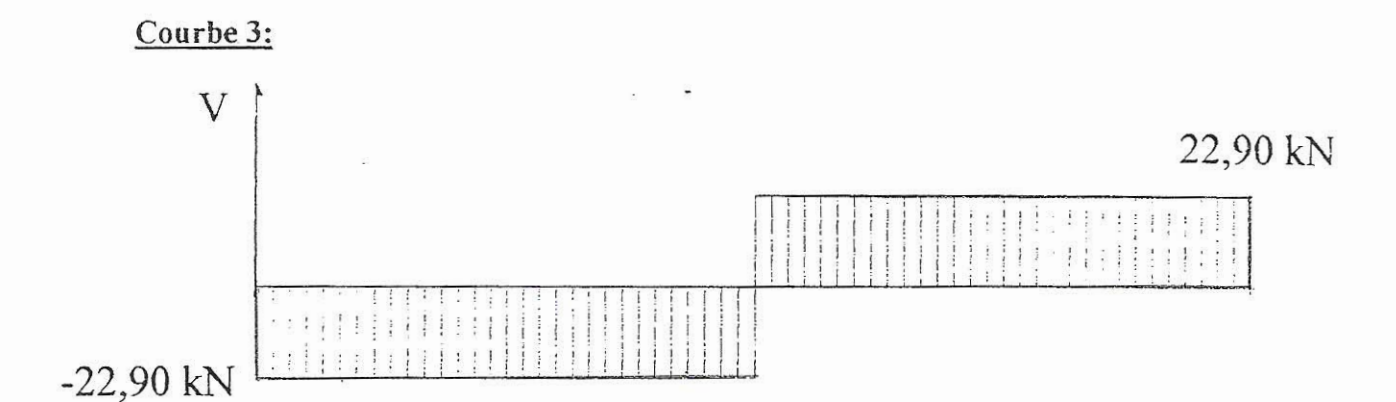
Pour cette étude, on ne vous donne volontairement aucune valeur numérique des charges appliquées.

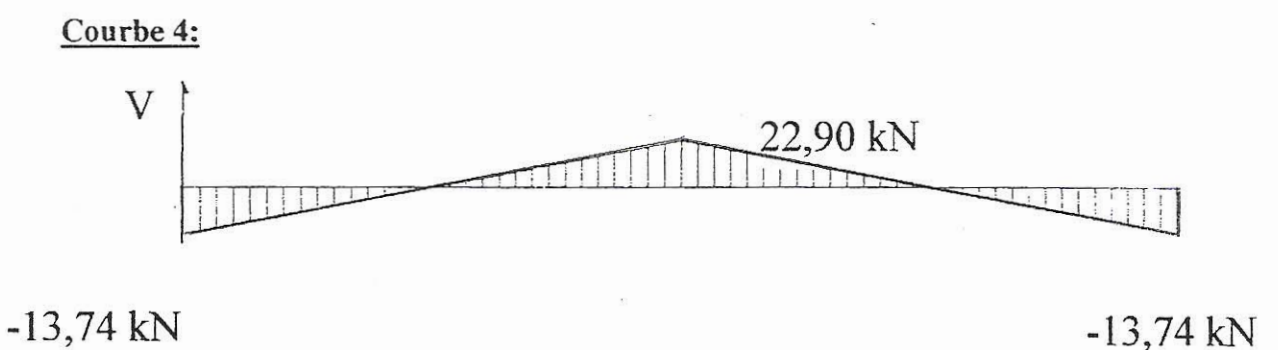


L'étude des sollicitations a été faite par votre collègue au moyen d'un logiciel. Mais cette personne ne domine pas tout à fait l'outil informatique et a commis des erreurs. Votre collègue vous propose donc quatre courbes différentes censées représenter les variations de l'effort tranchant le long de la poutre. Les quatre courbes sont définies ci-dessous.









Parmi ces quatre solutions proposées, trois courbes sont fausses.

211 Indiquez, pour chaque courbe, si vous la considérez juste ou fausse. (Vous donnerez un argument au moins justifiant votre choix).

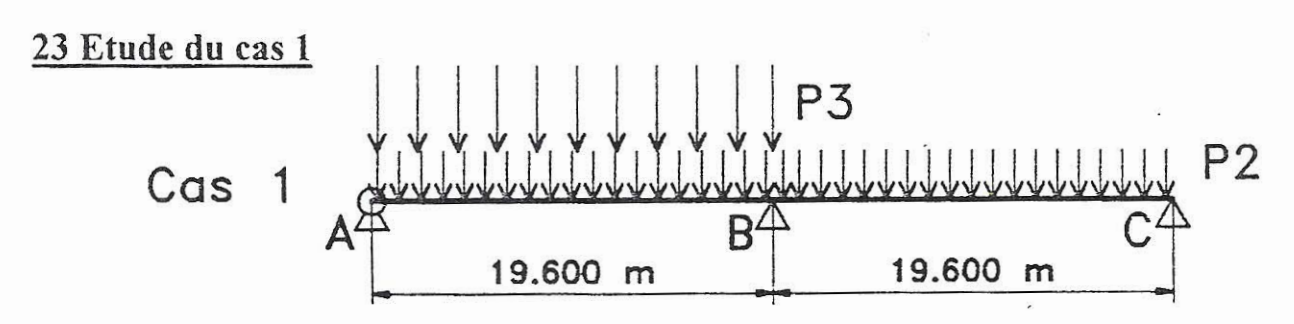
212 Donnez, à partir de la courbe juste, la valeur de chaque action de contact entre la poutre et ses appuis. (Seuls des calculs simples "de tête" sont nécessaires).

22 Etude du cas 3 Cas 3 A 19.600 m 19.600 m

P3 = 5 kN/m

221 Quel est le degré d'hyperstaticité de la poutre? Justifiez votre réponse.

222 A l'aide de la méthode de votre choix, déterminez les courbes cotées de moment fléchissant et d'effort tranchant le long du profilé. Vous justifierez les résultants obtenus et expliquerez la méthode utilisée.

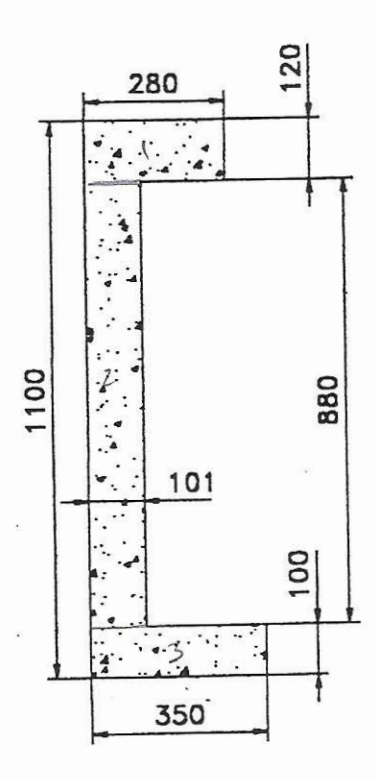


Au niveau de l'appui central, dans le cas du chargement n°3, l'effort tranchant vaut + 55 kN à gauche et - 6 kN à droite. Déterminez, en étant cohérent avec le choix effectué à la question 211, l'effort tranchant maximal (en valeur absolue) au droit de l'appui central. En déduire la contrainte tangentielle maximale agissant dans la section droite, au droit de l'appui central.

3 Corniche

La corniche préfabriquée est définie sur le document 6. Elle est mise en place sur la semelle inférieure du profilé de rive. Un câble relié à un autre profilé permet sa stabilisation. Elle sert de coffrage perdu lors de la phase de bétonnage.

Pour simplifier les calculs, on considérera que la corniche a la forme définie cidessous et que sa longueur est un mètre.

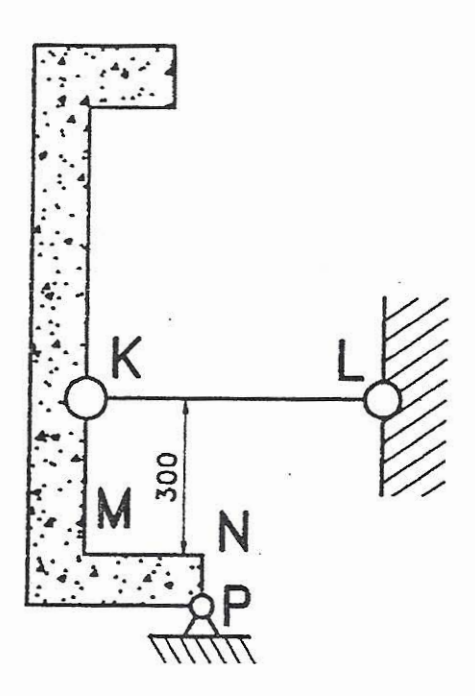


31 Etude de la corniche avant le bétonnage.

Elle est soumise aux actions suivantes:

- poids propre
- action du câble : le câble est relié à la corniche par une liaison pivot en K et au profilé par un liaison pivot en L.
 - action du profilé en P. Cette action est assimilée à une liaison pivot.

Les liaisons de la corniche avec le profilé sont schématisées ci-dessous.



On néglige le poids propre du câble.

- 311 Déterminez le poids de la corniche et la position de son centre de gravité.
 - 312 Déterminez l'effort dans le câble.

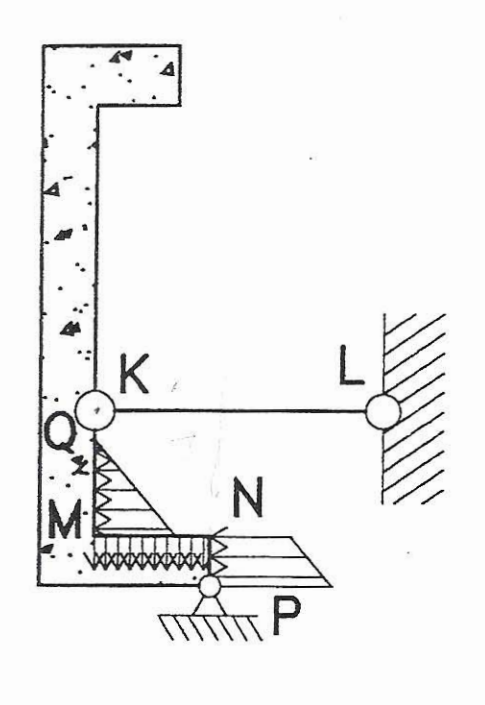
32 Etude de la corniche pendant le bétonnage.

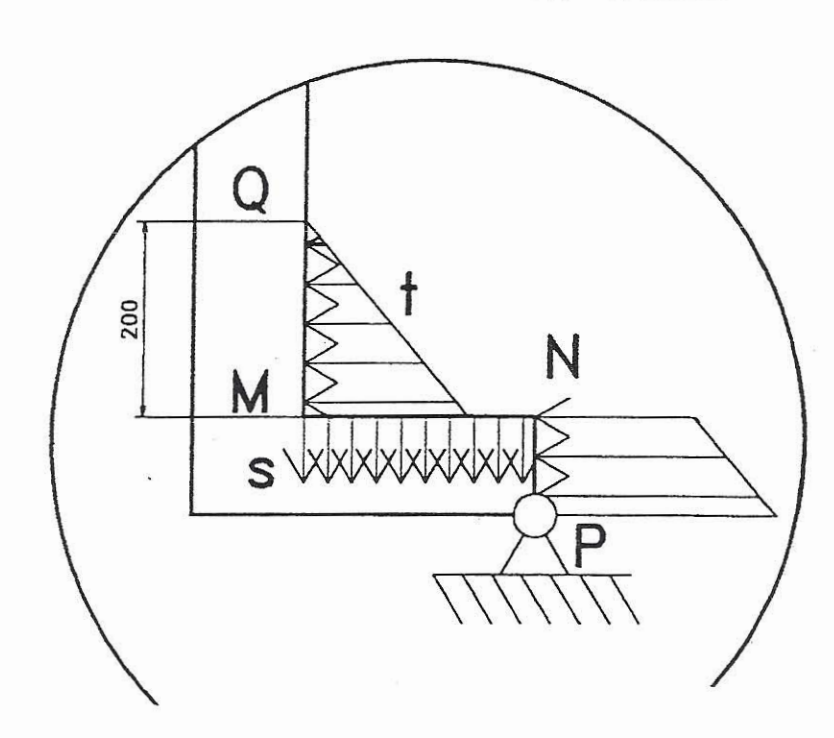
La corniche est soumise aux actions suivantes:

- poids propre
- actions du béton
- action du câble en K
- action du profilé en P.

Le schéma mécanique est le suivant.

Actions du béton Détail





L'action "s" du béton sur la surface MN est une action verticale uniformément répartie de 5 kN/m.

L'action "t" du béton sur les surfaces QM et NP est une action horizontale variant linéairement de 0 kN/m (en Q) à 7.5 kN/m (en P).

On néglige le poids propre du câble. Les liaisons en K, L et P sont les mêmes que celles définies au paragraphe 31.

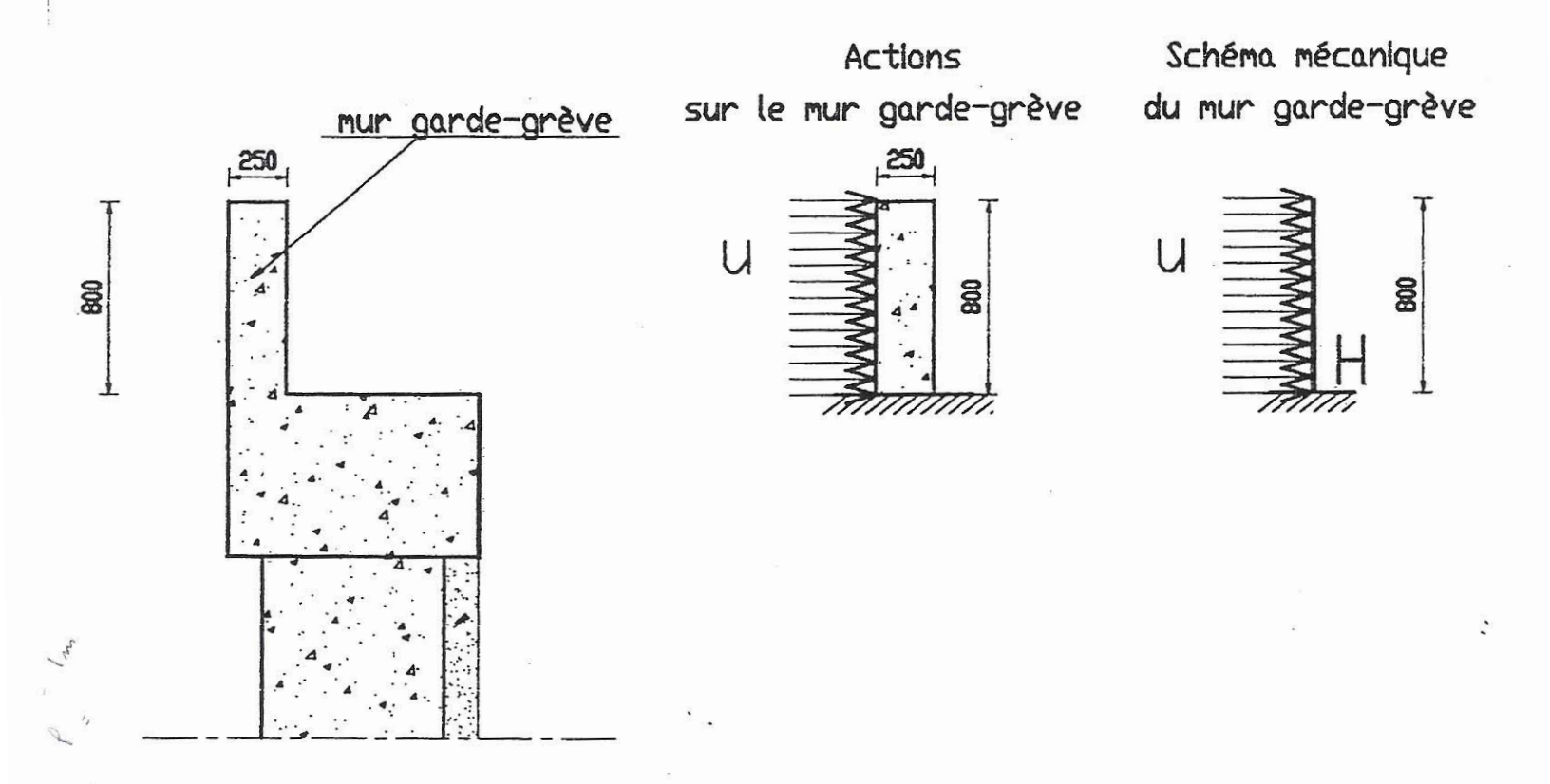
Déterminez l'action horizontale du profilé sur la corniche en P.

4 Mur garde-grève

Remarque préalable: Tout résultat non justifié élaboré à l'aide d'un logiciel ne sera pas évalué.

On s'intéresse au mur garde grève défini sur le document 5. Celui-ci est encastré en H dans le chevêtre de la culée (voir les dessins ci-dessous).

Le mur est soumis à l'action du sol "U" (lors du passage des véhicules) ainsi qu'à l'action du chevêtre. Les autres actions sont négligées.



On raisonne sur un mètre de mur. On étudie la section "H".

A l'état limite ultime, le moment fléchissant pondéré en H vaut 85 mkN, l'effort tranchant pondéré en H vaut 212 kN.

41 Déterminez, en H, la section des aciers tendus "A_{st}" résistant au moment fléchissant. Le calcul est fait à l'ELU.

Pour répondre à cette question, vous prendrez un enrobage des aciers égal à 30 mm. Vous préciserez les dimensions de la section de béton étudiée. Vous donnerez, pour l'étude de cette section précise, la valeur de la déformation des aciers ainsi que la valeur de la contrainte dans les aciers. Vous indiquerez la distance entre la résultante des efforts de compression dans le béton et la résultante des efforts de traction dans l'acier.

Vérifier que la condition de non-fragilité est satisfaite (vous appliquerez l'article B74 en considérant que $\frac{l_x}{l_y}$ est négligeable devant 3).

Choisissez les aciers et faire un schéma coté définissant la nature et la position des aciers principaux tendus choisis, si on ne s'intéresse qu'au chargement défini ci-dessus.

- 42 On étudie l'ancrage en H, dans le chevêtre, des aciers "A_{st}" choisis à la question 41. Déterminer rigoureusement la longueur minimale d'ancrage droit à mettre en place dans le chevêtre.
- 43 Vérifier, en utilisant les aciers choisis à la question 41, si il y a adhérence entre les aciers "A_{st}" et le béton du mur garde grève. Pour cela, vous étudierez la contrainte d'entraînement (article A613).
- 44 Vérifier, en appliquant l'article A522, qu'aucune armature d'effort tranchant n'est nécessaire dans le mur garde-grève.

Données complémentaires : Document 1

Caractéristiques des matériaux:

Béton: $-f_c R = 35 \text{ MPa}$

- granulats: 0-25 mm

- poids volumique: 25 kN/m³

Armatures: fgl= 500

Coffrage perdu "fibre de bois - ciment"

- poids volumique: 12,5 kN/m³

- module d'élasticité (ou module d'Young) : 4500 MPa

- Contrainte normale admissible à la flexion : 8 MPa

- Contrainte normale admissible à la traction : 2,5 MPa

- Contrainte tangentielle admissible : 2 MPa

Théorème des trois moments

$$Ai-1$$
 Ai $Ai+1$

Le chargement n'est pas représenté.

$$\frac{l_{i}}{6EI}M_{i-1} + \left(\frac{l_{i+1}}{3EI} + \frac{l_{i}}{3EI}\right)M_{i} + \frac{l_{i+1}}{6EI}M_{i+1} = \omega_{i+1}' - \omega_{i}''$$

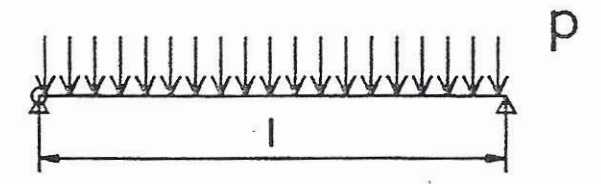
 M_k est le moment sur l'appui A_k .

 ω_{i+1} est la rotation de l'appui A_i dans la travée A_iA_{i+1} isostatique

 $\omega_{i}^{"}$ est la rotation de l'appui A_{i} dans la travée $A_{i-1}A_{i}$ isostatique

Données complémentaires : Document 2

Poutre sur deux appuis



La flèche maximale vaut $f = \frac{5pl^4}{384EI}$

La rotation aux abouts vaut, en valeur absolue, $\omega = \frac{pl^3}{24EI}$

Sections d'armatures

Tableau des sections en cm²

				Dia	mètre ф	en mi	π				
Nombre				1							
de barres	5	6	8	10	12	14	16	20	25	32	40
1	0,20	0,28	0,50	.0,79	1,13	1,54	2,01	3,14	4,91	8,04	12,57
2	0,39	0,57	1,01	1,57	2,26	3,08	4,02	6,28	9,82	16,08	25,13
3	0,59	0,85	1,51	2,36	3,39	4,62	6,03	9,42	14,73	24,13	37,70
4	0,79	1,13	2,01	3,14	4,52	6,16	8,04	12,57	19,64	32,17	50,27
5	0,98	1,41	2,51	3,93	5,65	7,70	10,05	15,71	24,54	40,21	62,83
6	1,18	1,70	3,02	4,71	6,79	9,24	12,06	18,85	29,45	48,25	75,40
7	1,37	1,98	3,52	5,50	7,92	10,78	14,07	21,99	34,36	56,30	87,96
8	1,57	2,26	4,02	6,28	9,05	12,32	16,08	25,13	39,27	64,34	100,5
9	1,77	2,54	4,52	7,07	10,18	13,85	18,10	28,27	44,18	72,38	113,1
10	1,96	2,83	5,03	7,85.	11,31	15,39	20,11	31,42	49,09	80,42	125,7
11	2,16	3,11	5,53	8,64	12,44	16,93	22,12	34,56	54,00	88,47	138,2
12	2,36	3,39	6,03	9,42	13,57	18,47	24,13	37,70	58,91	96,51	150,8
13	2,55	3,68	6,53	10,21	14,70	20,01	26,14	40,84	63,81	104,6	163,4
14	2,75	3,96	7,04	11,00	15,83	21,55	28,15	43,98	68,72	112,6	175,9
15	2,95	4,24	7,54	11,78	16,96	23,09	30,16	47,12	73,63	120,6	188,5
16	3,14	4,52	8,04	12,57	18,10	24,63	32,17	50,27	78,54	128,7	201,1
17	3,34	4,81	8,55	13,35	19,23	26,17	34,18	53,41	83,45	136,7	213,6
18	3,53	5,09	9,05	14,14	20,36	27,71	36,19	56,55	88,36	144,8	226,2
19	3,73	5,37	9,55	14,92	21,49	29,25	38,20	59,69	92,27	152,8	238,8
20	3,93	5,65	10,05	15,71	22,62	30,79	40,21	62,83	98,17	160,8	251,3

Données complémentaires : Document 3

Intégrales de Mohr

M*	M ⁴	M _A	M' _B
M	A & B	A & B	A 2 B
M_A ℓ ℓ ℓ	$M_A.M^*.\frac{\ell}{2}$	$M_A.M_A^{\bullet}.\frac{\ell}{3}$	$M_A.M_B^*.\frac{\ell}{6}$
A ℓ B	$M_B.M^*.\frac{\ell}{2}$	$M_B.M_A^*.\frac{\ell}{6}$	$M_B.M_B^{\bullet}.\frac{\ell}{3}$
A ℓ B	M.M*.ℓ	$M.M_A^* \cdot \frac{\ell}{2}$	$M.M_B^*.\frac{\ell}{2}$
M_A M_B A ℓ B	$(M_A + M_B)M^{\bullet} \cdot \frac{\ell}{2}$	$(2M_A + M_B)M_A^* \cdot \frac{\ell}{6}$	$(M_A + 2M_B)M_B^{\bullet}.\frac{\ell}{6}$
M _C A ℓ/2 C ℓ/2 B	$M_{c}.M^{*}.\frac{\ell}{2}$	$M_{C}.M_{A}^{*}.\frac{\ell}{4}$	$M_{C}.M_{B}^{*}.\frac{\ell}{4}$
$ \begin{array}{c c} M_D \\ A & D & (\ell - a) & B \end{array} $	$M_D.M^*.\frac{\ell}{2}$	$M_D.M_A^*.\frac{2\ell-\alpha}{6}$	$M_{\rm D}.M_{\rm B}^{\bullet}.\frac{\ell+a}{6}$
M _C A ℓ/2 C ℓ/2 B	$M_{C}.M^{\bullet}.\frac{2\ell}{3}$	$M_{c}.M_{A}^{\bullet}.\frac{\ell}{3}$	$M_{C}.M_{B}^{\bullet}.\frac{\ell}{3}$
M_A A ℓ B	$M_A.M^{\bullet}.\frac{\ell}{3}$	$M_A.M_A^*.\frac{\ell}{4}$	$M_A.M_B^*.\frac{\ell}{12}$
A ℓ B	$M_B.M^e.\frac{\ell}{3}$	$M_B.M_A^*.\frac{\ell}{12}$	$M_B.M_B^*.\frac{\ell}{4}$
M_A A ℓ B	$M_A.M^{\bullet}.\frac{2\ell}{3}$	$M_A.M_A^{\bullet}.\frac{5\ell}{12}$	$M_A.M_B^*.\frac{\ell}{4}$
A ℓ B	$M_B.M^*.\frac{2\ell}{3}$	$M_B.M_A^{\bullet}.\frac{\ell}{4}$	$M_B.M_B^*.\frac{5\ell}{12}$

Document 5

00/10/10/10

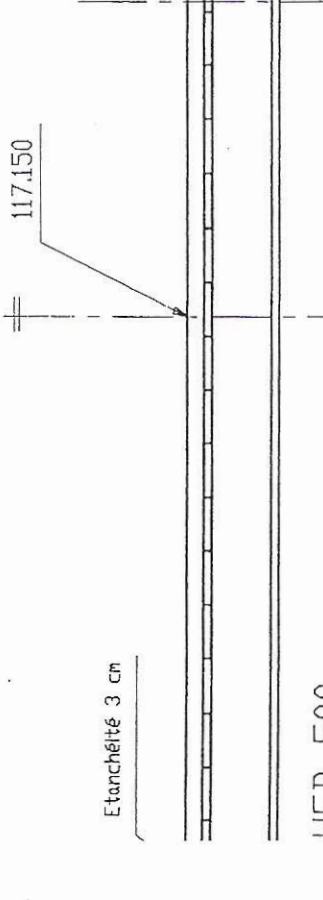
échelle 1/20

Coupe longitudinale partielle du pont

Données complémentaires: Document 4

Caractéristiques des profilés HEB

	ş	
<u> </u>		
)		9



-		1	
		0	
		0	
		0	
		0	<u> </u>
		0	
		_0	
		0	44.
		0	
		0	
		0 0 0 0 0 0 0 0 0 0	. (
		0	hage perdu panneaux préfabriqués
		0	réfabi
	0	0	coffrage perdu
	HEB 500	0	age
	B	0	Coffi
	王.		
		•	
			•••

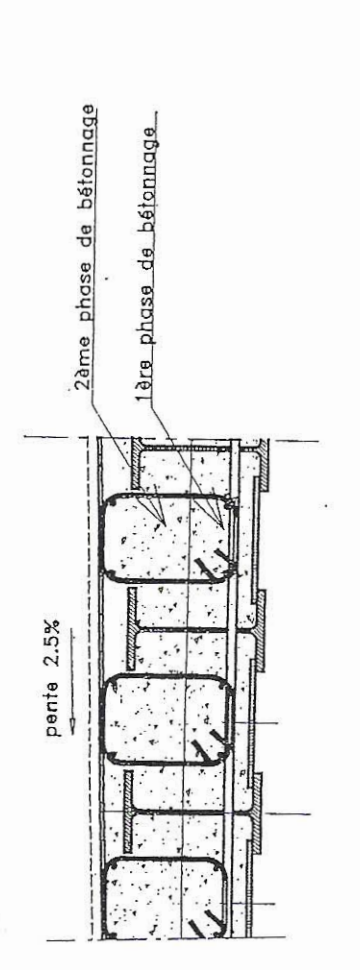
			Carac	Caracteristiques rapportees à l'axe neutre	apporters a	axe neu	g			
2	- *E	-1× £	- E	Moment statique S cm¹	Distance des centres	ż	₽	~1×_£	→ ₽	
0	450	96	4, 16	52.1	8,63	4.41	167	33	2.53	
0 0	1 509	216	5,93		12,3	5,39	550	79	3,58	
0	2 492	311	6,78	_	14.1	7.30	888	111	4,05	_
0	3 831	426	7,66		15.9	8.32	1 363	151	4,57	
0 0	8 09 1	570	9,54	321	17.7	9.30	2 003	200	5,07	
0	11 260	938	10,3		21.4	11,27	3 923	327	6.08	
0	14 920	1 150	11.2		23.3	12,36	5 135	395	6.58	
0	19 270	1 380	12.1		25.1	13.40	6 595	471	7.09	10
0	25 170	1 680	13.0		26.9	14,36	8 583	571	7,58	
0	30 820	1 930	13.8	-	28.7	15,19	9 239	616	7.57	
0	36 660	2 160	14.6	-	30.4	16.12	9 690	646	7.53	
0	43 190	2 400	15,5	-	32.2	16.90	10 140	676	7,49	_
0	57 680	2 880	17.1	-	35.7	18,58	10 820	721	7.40	
0	79 890	3 550	19.1	-	40.1	20.76	11720	781	7.33	
0	107 180	4 290	21.2	2	44.5	22.94	12 620	842	7.27	
0	136 690	4 970	23.2	2	48.9	24.97	13 080	872	7.17	
0	171 040	5 700	25.2	3	53,2	26,89	13 530	305	7.08	_

ə	· 	×	×Λ	+ -	_
, X	2	9	-	ā	>
11		×	Ч	∐ <u>J</u>	_

	_		D	Dimensions	*		
Profils	4	۵	•			Partie droite de l'âme h.	
	mm	mm	mm	mm	mm.	Will	
8	8	81	9	10	12	56	_
120	120	120	6,5	=	12	74	
140	140	140	~	12	12	92	_
160	160	160	8	13	15	104	
180	180	180	8.5	14	15	122	
88	200	200	6	15	18	134	
220	220	220	9.5	16	18	152	
240	240	240	10	17	21	164	
260	260	260	10	17.5	24	1771	
280	280	280	10.5	18	24	196	
300	300	300	Ξ	19	27	208	
320	320	300	11.5	20,5	27	225	
340	340	88	12	21,5	27	243	
360	360	300	12,5	22.5	27	261	
400	400	38	13,5	24	27	298	
. 054	450	38	14	26	27	344	_
800	200	300	14.5	28	27	390	
550	550	300	15	53	27	438	_
009	800	300	15.5	8	27	486	

échelle 1/20

Coupe transversale partielle



Détail tablier

les aciers "haute adhérence" ne sont pas dessinés

échelle 1/10

